

HEAT TRANSFER COEFFICIENT AND ITS SURFACE FLUX DURING BEECH WOOD DRYING

In this paper the experimental values of the heat transfer coefficient of beech wood and its relations with surface moisture content were defined. The heat flux was determined by the integral expression of total enthalpy obtained by the temperature and moisture profiles. The determination of the total enthalpy of samples required the consideration of each component of the wood-air-water system.

The obtained values of the heat transfer coefficient were: 23W/(m²K); 30W/(m²K) and 34W/(m²K), having in mind the air velocity of: 1m/s, 2m/s, and 3m/s, respectively. Experimentally obtained values were slightly higher than the values obtained by theory of similarity and analogy between heat and mass transfer. The values show agreement with the values of the heat transfer coefficient given in the literature.

Key words: moisture content on wood surface; integral expression; non-dimensional criteria; air velocities

1. Uvod

Koeficijent prelaženja topline i toplotni fluks su značajni pokazatelji intenziteta prenošenja topline između tela i fluida koji ga opstavlja. Koeficijent prelaženja topline ne zavisi samo od fizičkih svojstava tela i okoline kako je to smatrao Njutn, već zavisi od čitavog niza faktora kao što su: uzrok i režim strujanja (laminarni ili turbulentni), temperature fluida i njegovih svojstava, oblika i dimenzijsa opstavljanog tela.

Koeficijent prelaženja topline određuje se primenom teorije sličnosti procesa koja sadrži analitičke i eksperimentalne metode istraživanja, a jedna od tih metoda korišćena je u ovom radu.

2. Rezultati merenja sa analizom

Za određivanje koeficijenta prelaženja topline poslužila je relacija data u literaturi (Tremblay et al., 2000):

$$q = \alpha (\bar{T}_s - T_\infty) + (1 - \varepsilon) (r + \gamma \Delta h_s) j, \quad (1)$$

pri čemu je: $\gamma = 0$ za vlažnost veću od granice hidroskopnosti, a $\gamma = 1$ za vlažnost manju ili jednaku granici hidroskopnosti.

Za latentnu toplotu isparavanja r usvojena je konstantna vrednost od 2500 kJ/kg_v. Razlika u specifičnoj entalpiji sorpcije Δh_s uvedena je radi promena faze od čvrstog ka tečnom stanju. Pri vlažnosti većoj od tačke zasićenja vlakanaca $\gamma = 0$, zbog hipoteze da se fazni prelazi javljaju samo između tečne i parne faze. S druge strane, za $\gamma = 1$ za vlažnost manju ili jednaku tački zasićenja vlakanaca i Δh_s povećava se sa smanjenjem vlažnosti.

Korišćenjem formule (1), dobija se izraz za određivanje koeficijenta prelaženja topline kao:

$$\alpha = q / (\bar{T}_s - T_\infty) - [(1 - \varepsilon) (r + \gamma \Delta h_s) j] / (\bar{T}_s - T_\infty). \quad (2)$$

Za određivanje toplotnog fluksa q , određivana je entalpija preko profila vlažnosti i temperature. Za profile entalpi-

je dobijene za različite vremenske trenutke, toplotni fluks q određivan je preko formule:

$$q = \int_{\text{surface}}^{\text{sample}} \left[\rho_s \Phi_{sd} h_{sd} + \rho_g \Phi_g h_g + \rho_{vl} \Phi_{vl} h_{vl} + \rho_{vv} \Phi_{vv} h_{vv} \right] dx \quad (3)$$

gde je integral:

dobijen grafičkim integraljenjem na domenu koji odgovara dimenziji uzorka u radikalnom pravcu.

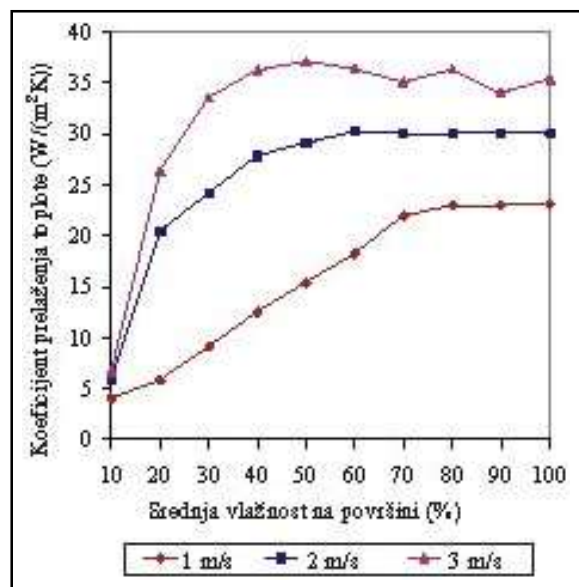
Određivanje entalpije uzorka zahtevalo je uzimanje u razmatranje svake od komponenata sistema drvo-vazduh-voda:

$$H = \rho_{sd} \Phi_{sd} h_{sd} + \rho_g \Phi_g h_g + \rho_{vl} \Phi_{vl} h_{vl} + \rho_{vv} \Phi_{vv} h_{vv} \quad (4)$$

gde je:

$$\rho_g \Phi_g h_g + \rho_v \Phi_v h_v + \rho_p \Phi_p h_p \quad (5)$$

Rezultati dobijeni za vrednosti koeficijenta prelaženja topline (α) pri različitim brzinama strujanja prikazani su na dijagramu (slika 1). Vrednosti su predstavljene u funkciji srednje vlažnosti na površini uzorka. Pri brzinama strujanja od 1 m/s i 2 m/s ujednačavanje koeficijenta prelaženja topline (α) postignuto je tek pri relativno velikim vrednostima površinske vlažnosti. Ove vrednosti odgovaraju periodu konstatne brzine sušenja. Vrednosti koje se pri tome dobijaju za koeficijent prelaženja topline su 23 W/(m²K) i 30 W/(m²K). Blage varijacije koeficijenta prelaženja topline u ovom periodu, a pri brzinama od 1 m/s i 2 m/s mogu se objasniti malim razlikama temperature na površi drveta od temperature vlažnog termometra. Pri brzini strujanja od 3 m/s, ova razlika postaje značajna i



Slika 1. Koeficijent prelaženja topline u funkciji površinske srednje vlažnosti pri različitim brzinama strujanja

Tabela 1. Literaturne vrednosti koeficijenata prelaženja topote

Izvor	Pokretna sila	Koef. prelaženja ($W/(m^2K)$)	Uслови
Peret et al. (1986)	Gustina pare	23	$t = 80^\circ C, \gamma = 2 \text{ m/s}$
Irudjanić et al. (1990)	Difuzivna vlaga	22,5	$t = 60^\circ C$
Sutherland et al. (1992)	Gustina pare	17	$t = 90^\circ C, \gamma = 3 \text{ m/s}$
Stanish et al. (1986)	-	32	$t = 122^\circ C, \gamma = 3 \text{ m/s}$
Connopera et al. (1993)	Koncentracija pare	33	$t = 75^\circ C, \gamma = 7 \text{ m/s}$ $t = 45^\circ C$

zato se postiže samo približno konstantna vrednost koeficijenta prelaženja topote (α). Srednja vrednost topotnog površinskog fluksa u ovom slučaju iznosi $34 \text{ W}/(\text{m}^2\text{K})$. Te vrednosti približno odgovaraju literaturnim vrednostima dobijenim za konstantan period sušenja, iznesenim u tabeli 1.

Koeficijent prelaženja topote (α) povećava se sa porastom brzine strujanja, što je i logično očekivati. Posle konstantnog perioda sušenja, α varira u zavisnosti od smanjenja topotnog fluksa q i temperaturne razlike ($T_s - T_\infty$). Koeficijent prelaženja topote pokazuje tendenciju blagog pada sa smanjenjem vlažnosti na površi.

Srednji koeficijent prelaženja topote ($\bar{\alpha}$) može se odrediti preko formule (Tremblay et al., 2000):

$$Nu = (\bar{\alpha} \cdot d_{ek}) / \lambda_v = 0,25 \cdot Re^{0,6} \cdot Pr^{0,38} \quad (6)$$

Za koeficijent prelaženja topote sračunat preko formule (6) dobijaju se vrednosti od 16,8; 25,3 i 30,9 $\text{W}/(\text{m}^2\text{K})$, pri brzinama strujanja od 1; 2 i 3 m/s. Ove vrednosti su manje od vrednosti dobijenih eksperimentalnim putem koje su pri istim brzinama strujanja iznosile 23; 30 i 34 $\text{W}/(\text{m}^2\text{K})$.

Srednji koeficijent prelaženja topote ($\bar{\alpha}$), može se dobiti korišćenjem analogije između konvektivnog prenosa topote i vlage. Uvodeći Luisov (Lewis) broj (Le), za vezu između koeficijenta prelaženja topote (α) i vlage β_p , dobija se (Incopera et al., 1990):

$$\bar{\alpha}/\bar{\beta}_p = \rho_v \cdot c_v \cdot Le^{2/3} \quad (7)$$

Za vrednosti koeficijenta prelaženja topote ($\bar{\alpha}$) iz eksperimenta za vreme konstantnog perioda sušenja, primenom jednačine (7) za β_p dobijaju se vrednosti 0,025; 0,033 i 0,038 m/s pri brzinama strujanja od 1; 2 i 3 m/s. Ove vrednosti su oko 2,5 puta veće od vrednosti dobijenih eksperimentom za β_p : 0,01; 0,013 i 0,016 m/s. Za vrednosti koeficijenta prelaženja topote (α) sračunatih preko Nusseltovog broja (jednačina 6), vrednosti za srednje β_p iz jednačine (7) sračunate preko Šerwoodovog (Sherwood) broja su: 0,006; 0,013 i 0,022 m/s. Na ovaj način postignuta je približno dobra korelacija između sračunatih i eksperimentalno dobijenih vrednosti koeficijenta prelaženja vlage, a kako ovi računski koriste koeficijent prelaženja topote prethodno eksperimentalno određen to je još potvrda njegove validnosti. Takođe, prema literaturi (Salin, 1996a, 1996b), primena Luisove analogije nije validna na površini drveta. Salin spominje da je eksperimentalno dobijen koeficijent prelaženja vlage često mnogo manji nego što se to računski korišćenjem analogije može dobiti. Rezultati u ovom radu ne pokazuju veliku razliku između izračunatog i eksperimentalno dobijenog koeficijenta prelaženja vlage. Ako se upotreba bezdimensionalnih kriterijuma primeni na transport vlage koja ispa-

rava sa slobodne površine, Luisova analogija se može primeniti u periodu konstantne brzine sušenja. Plumb et al. (1984) spominju da se Luisova analogija može koristiti kad je površina vlažna, kao u slučaju isparavanja sa slobodne površine.

Određivanje β_p računskim putem u higroskopnom području primenom Luisove analogije, zahteva upotrebu korekcionih faktora, kako bi se dobijene vrednosti za β_p smanjile.

3. Zaključak

Dobijeni koeficijenti prelaženja topote za različite brzine strujanja agensa sušenja predstavljaju polaznu osnovu zajedno sa već određenim profilima vlažnosti i temperature za simulaciju procesa sušenja. Ove vrednosti kao i vrednosti za koeficijent prelaženja vlage, omogućavaju kvantitativno opisivanje prenosa topote i vlage na kontaktnoj površini materijala i agensa sušenja, i sastavni su deo matematičkog modela predstavljenog u vidu bilansnih jednačina održanja energije i količine kretanja, kao i graničnih uslova. Rešavanje postavljenog modela u numeričkom obliku omogućava dobijanje raspodele vlažnosti i temperature u sušenom drvetu, a u funkciji parametara agensa sušenja. Na ovaj način mogu se sračunati vlažnosna naprezanja i naponska stanja u sušenom drvetu, tako da se predviđa prelazak na blaži režim pre pucanja drveta, pojave skorelosti i koritavosti. To je od posebnog značaja prilikom lepljenja laminata od masivnog drveta u ploče, kako bi se obezbedila hidrotermička stabilnost lepljenih elemenata i na taj način ostvario željeni kvalitet ploče.

Planirano je da se naredna istraživanja sprovedu na: hrastu i belom boru, koji su zajedno sa bukvom najzastupljenije vrste u domaćoj industriji prerade drveta.

Oznake

- c (J/(kgK)) – specifičan topotni kapacitet
- $d_{ek}(m)$ – ekvivalentni prečnik
- H($J/m^3 \cdot vd$) – entalpija po jedinici zapremine uzorka drveta
- h (J/kg v_v^2) – specifična entalpija sorpcije
- j ($\text{kg}/(\text{m}^2\text{s})$) – površinski protok vlage
- Nu (–) – Nusseltov broj
- Pr (–) – Prandtlov broj
- Re (–) – Reynoldsov broj
- $q(W/m^2)$ – površinski topotni fluks
- r (J/kg) – latentna topota isparavanja
- T (K) – termodinamička temperatura
- $\alpha (W/(m^2K))$ – koeficijent prelaženja topote
- $\beta_p (m/s)$ – koeficijent prelaženja materije (pokretačka sila, masena koncentracija vlage ρ_v)
- $\epsilon (–)$ – koeficijent faznog prelaza (odnos difuzivnosti pare prema ukupnoj difuzivnosti vlage)
- $\phi (m^3 / m^3 \cdot vd)$ – zapremski udio svake komponente
- $\lambda (W/(mK))$ – topotna provodnost
- $\rho (kg/m^3)$ – gustina
- $\tau (s)$ – vreme

Indeksi

- sd – drveta (suve osnove)
g – gasovito stanje
s – na površini
t – tečno stanje
v – vazduha
vl – vlage
vv – vezane vlage
 ∞ – u neporemećenoj struji vlažnog vazduha (agensa sušenja).

Literatura

- [1] **Dedić, A.**, *Modeliranje spregnutog procesa prenosa toplotne i materije prilikom konvektivnog sušenja drveta*, doktorska disertacija, Mašinski fakultet, Beograd, 2001, 184 str.
- [2] **Incopra, F. P., D. P. De Witt**, *Fundamentals of heat and mass transfer*, Third edition, John Wiley and Sons, New York, 1990, 919 str.
- [3] **Plumb, O., C. Brown, B. Olmstead**, *Experimental measurements of heat and mass transfer during convective drying of southern pine*, Wood Science and Technology, br. 18, 1984, str. 187–204.
- [4] **Salin, J-G.**, *Prediction of the heat mass transfer coefficients for the individual boards and board surfaces*, Proceedings of the 5th IUFRO Wood Drying Symposium, August 13–17, Quebec City, Canada, 1996a, str. 49–58.
- [5] **Salin, J-G.**, *Mass transfer from wooden surfaces and internal moisture non equilibrium*, Drying Technology, god. 14, br. 10, 1996b, str. 2213–2224.
- [6] **Tremblay, C., A. Cloutier, Y. Fortin**, *Experimental determination of the convective heat and mass transfer coefficients for wood drying*, Wood Science and Technology, br. 34, 2000, str. 253–276.
- [7] **Bonneau, P., J-R. Puiggali**, *Influence of the hard-wood-sapwood proportions on the drying kinetics of board*, Wood Sci. Technol., br. 28, 1993, str. 67–85.
- [8] **Irudayaraj, J., K. Haghghi, R. L. Stroshine**, *Non-linear finite element analysis of coupled heat and mass transfer problems with an application to timber drying*, Drying Technology, god. 8, br. 4, 1990, str. 731–749.
- [9] **Perre, P., D. Maillet**, *Drying of softwoods: The interest of a two-dimensional model to simulate anisotropy or to predict degrade*, Proceedings of the 2nd IUFRO Wood Drying Symposium, July 23–28, Seattle, USA, 1986, str. 226–237.
- [10] **Stanish, M. A., G. S. Schajer, F. Kayihan**, *A mathematical model of drying for hygroscopic porous media*, AIChE J., br. 32, 1986, str. 1301–1311.
- [11] **Sutherland, J.W., I. W. Turner, R. L. Northway**, *A theoretical and experimental investigation of the convective drying of Australian Pinus radiata timber*, Proceedings of the 3rd IUFRO Wood Drying Symposium, August 18–21, Vienna, Austria, 1992, str. 49–58.

PROCESNA
TEHNIKA

HEMOSORPCIJA SA SPORIM, BRZIM I TRENUTNIM NEPOVRATNIM HEMIJSKIM REAKCIJAMA U TEČNOJ FAZI

Pavle Andrić, dipl. inž. maš.,
Mašinski fakultet, Beograd

Hemosorpcija je proces prelaska komponenti iz gasne u tečnu fazu, pri čemu se od fizičke apsorpcije razlikuje povećanjem pogonske sile procesa (ili koeficijenta prelaza materije), usled postojanja hemijske reakcije između apsorptiva i hemijski aktivne komponente apsorbenta. U radu je izložen pregled osnovnih jednačina hemosorpcije vezanih za određivanje koeficijenta „ubrzanja”, kojim se uzima u obzir povećanje koeficijenta prelaza materije u odnosu na fizičku apsorpciju. Razmatran je uticaj sporih, brzih i trenutnih nepovratnih hemijskih reakcija u tečnoj fazi na koeficijent ubrzanja, pri čemu se može zaključiti da je pri hemosorpciji sa sporim reakcijama efekat transporta praktično isti kao i pri fizičkoj apsorpciji, dok se kod trenutnih reakcija efekat značajno povećava.

Ključne reči: apsorpcija; nepovratne hemijske reakcije; tečna faza

CHEMISORPTION WITH SLOW, FAST AND INSTANTANEOUS IRREVERSIBLE CHEMICAL REACTIONS IN A LIQUID PHASE

Chemisorption is a process of converting components from gaseous into liquid phase (state), whereby it differs from the physical absorption by an increase of process force (or matter conversion coefficient) due to existence of a chemical reaction between an absorptive and chemically active adsorbent's component. This paper reviews the basic equations of chemisorption related to the determination of „acceleration“ coefficient, where the increase of the matter conversion coefficient in relation to the physical absorption is taken into consideration. The influence of slow, fast and instantaneous irreversible chemical reactions in a liquid phase on the acceleration coefficient was considered and it lead to the conclusion that in chemisorption with slow reactions, the transport effect was practically the same as with the physical absorption, while the instantaneous effect was significantly increased.

Key words: absorption; irreversible chemical reactions; liquid phase

Uvod

Hemosorpcija predstavlja proces prelaska komponenti iz gasovite u tečnu fazu, uz prisustvo hemijskih reakcija koje se odigravaju između pojedinih komponenti, pri čemu se na površini kontakta faza stvaraju nova